Date: 23/10/2014 Page: 1/11

Clé: V6.08.110

Titre: SSND110 - Validation des lois monocristallines DD\_[...]

Responsable : Jean-Michel PROIX

# SSND110 – Validation des lois monocristallines issues de la Dynamique des Dislocations

### Résumé:

On effectue, sur un problème réduit au point matériel, une validation des lois monocristallines, soit par rapport à une solution analytique, soit avec une référence expérimentale.

Pour toutes les modélisations (sauf C), on teste mono-cristal chargé suivant une orientation particulière, permettant le glissement privilégié d'un seul système, au moins au début du chargement.

Pour la modélisation C, on se réfère à des résultats expérimentaux cités par Julien Schwartz dans sa thèse, ce qui conduit à simuler un essai de traction sur un polycristal constitué de 40 monocristaux dont le comportement est MONO\_DD\_FAT.

Modélisation A : cette modélisation permet de valider le comportement MONO\_DD\_CFC
Modélisation B : cette modélisation permet de valider le comportement MONO\_DD\_CC
Modélisation C : cette modélisation permet de valider le comportement MONO\_DD\_FAT
Modélisation D : cette modélisation permet de valider le comportement MONO\_DD\_CC\_IRRA
Modélisation E : cette modélisation permet de valider le comportement MONO\_DD\_CC\_IRRA.

Date: 23/10/2014 Page: 2/11 Responsable: Jean-Michel PROIX Clé: V6.08.110 Révision: 12597

# Problème de référence

#### 1.1 Géométrie

Il s'agit d'un point matériel, représentatif d'un état de contraintes et de déformations homogène.

### 1.2 Propriétés des matériaux

#### 1.2.1 Propriétés pour la modélisation A, loi cristalline MONO DD CFC

# 1.2.1.1 Coefficients relatifs à l'élasticité isotrope

Module de cisaillement:  $\mu = 80000$ . MPa , Coefficient de Poisson  $\nu = 0.3$ Module d'Young:  $E = \mu * 2*(1+\nu)$ 

# 1.2.1.2 Coefficients de la loi MONO DD CFC

A=0.13 B=0.005 
$$\alpha$$
=0.35  $\beta$ =2.5410<sup>-7</sup>(2.54 Angström)  
Y=2.5 10<sup>-7</sup> mm(2.5 Angstrom)  $\tau_f$ =20. n=5.  $\dot{\gamma}_0$ =10<sup>-3</sup>

 $\rho_{ref} = \rho_{tot} = 1.2 \, 10^6 \, mm^2$  est la densité totale initiale, servant à calculer la matrice d'interaction corrigée, dont les coefficients évoluent avec la densité de dislocation totale.

La matrice d'interaction est composée uniquement de 1 : H1=H2=H3=H4=H5=1.0, La famille de systèmes de glissement est octaédrique ( CFC ) .

Chaque variable interne représentant la densité de dislocation d'un système de glissement est initialisées à  $\rho_0 * b^2$  avec  $\rho_0 = 10^5 mm^{-2} = \frac{\rho_{ot}}{12}$ 

# 1.2.2 Propriétés pour la modélisation B, loi cristalline MONO DD CC

### 1.2.2.1 Coefficients relatifs à l'élasticité isotrope

Coefficient de Poisson v = 0.35Module d'Young: E = (236 - 0.0459 T) GPa

### 1.2.2.2 Coefficients de la loi MONO DD CC

Deux jeux de coefficients sont utilisés suivant les cas :

Cas 1 (formulation 1)	Cas 2 (formulation 2)
DELTA1=0 (formulation 1), TEMP= $300 K$	DELTA1=1 (formulation 2), TEMP= $50 K$
D_LAT=1000 mm K_BOLTZ=8.62 10 <sup>-5</sup>	D_LAT=1000 mm K_BOLTZ=8.62 10 <sup>-5</sup>
$GAMMA0 = 10^{-3} s^{-1}$ $TAU_0 = 363 MPa$	$GAMMA0 = 10^{-6} s^{-1}$ $TAU_0 = 363 MPa$
$TAU_F = 20 MPa$ $RHO_MOB = 10^5 mm^{-2}$	$TAU_F=0$ $RHO_MOB=10^5$ mm <sup>-2</sup>
$K_F = 30 K_SELF = 100 B = 2.48 10^{-7} mm$	$K_F = 75 K_SELF = 100 B = 2.48 10^{-7} mm$
N=20 DELTAG0=0.84 BETA=0.2	N=50 DELTAG0=0.84 BETA=0.2
$D=10^{-5} \text{ mm } GH=10^{11} , Y_AT=10^{-6} \text{ mm },$	$D=10^{-5} \text{ mm } GH=10^{11}, Y_AT=210^{-6} \text{ mm},$
Les variables internes représentant la densité de dislocations sont initialisées à $\rho_0 = 10^5 \text{mm}^{\text{-2}}$	Les variables internes représentant la densité de dislocations sont initialisées à $\rho_0 = 10^5 mm^{-2}$ , sauf pour le système principal (numéro 5) : $\rho_0 = 10^6 mm^{-2}$

La matrice d'interaction est construite dans les deux cas à partir des valeurs suivantes

Date: 23/10/2014 Page: 3/11 Clé: V6.08.110 Révision: 12597

Titre: SSND110 - Validation des lois monocristallines DD [...] Responsable: Jean-Michel PROIX

H1 = 0.1024, H2 = 0.7, H3 = H4 = H5 = H6 = 0.1

La famille de systèmes de glissement est cubique ( CC ).

#### 1.2.3 Propriétés pour la modélisation C

# 1.2.3.1 Coefficients relatifs à l'élasticité orthotrope

L'élasticité est ici orthotrope cubique, donc définie par 3 coefficients :

$$y_{1111} = 244000. MPa$$
  
 $y_{1122} = 96000. MPa$   
 $y_{1212} = 74000. MPa$ 

### On a alors:

$$\begin{aligned} v_{\text{LT}} &= v_{\text{TN}} = v_{\text{LN}} = v = \frac{1}{(1 + \frac{y_{1111}}{y_{1122}})} \\ E_L &= E_T = E_N = y_{1111} \frac{(1 - 3v^2 - 2v^3)}{(1 - v^2)} \\ G_{\text{LT}} &= G_{\text{TN}} = G_{\text{LN}} = y_{1212} \end{aligned}$$

Remarque : le coefficient  $\mu^{loca}$  utilisé pour la localisation vaut 74000 Mpa.

# 1.2.3.2 Coefficients de la loi MONO DD FAT

$$\tau_f = 44.9 \, MPa$$
  
 $\dot{y}_0 = 4.10^{-11} \, s^{-1}$   
 $\beta = 2.5410^{-7} \, mm \, (2.54 \, Angström)$   
 $n = 73.5$   
UN\_SUR\_D=0.  
 $g_{c0} = 1.33 \, 10^{-6} \, mm$   
 $K = 37.14$ 

La matrice d'interaction est caractérisée par les cinq coefficients suivants (cf [R5.03.11]):

H1 = 0.1236

H2 = 0.633

H3 = 0.1388

H4 = 0.1236

H5 = 0.0709

La famille de systèmes de glissement est octaédrique.

Les variables internes représentant la densité de dislocations sont initialisées à  $\rho_n \times b^2$  avec  $\rho_0 = 1.7710^6 \, \text{mm}^{-2}$ 

# Propriétés pour la modélisation D, loi cristalline MONO DD CC IRRA

### 1.2.4.1 Coefficients relatifs à l'élasticité isotrope

Coefficient de Poisson v = 0.35Module d'Young: E = (236 - 0.0459 T) GPa

### 1.2.4.2 Coefficients de la loi MONO DD CC IRRA

Responsable: Jean-Michel PROIX

Date: 23/10/2014 Page: 4/11 Clé: V6.08.110 Révision: 12597

TEMP = 250 KD\_LAT=1000 mm K\_BOLTZ=8.62 10<sup>-5</sup>  $GAMMA0 = 10^{-3} s^{-1}$  TAU 0 = 363 MPaTAU F = 20 MPaK F=30 K SELF=100  $B=2.48 \cdot 10^{-7}$  mm N=20 DELTAG0=0.84  $D=10^{-5} \text{mm} \text{ GH}=10^{11} \text{, } Y_AT=10^{-6} \text{mm} \text{,}$ A IRRA=0.3, XI IRRA=4.0,

Les variables internes représentant la densité de dislocations sont initialisées à  $Q_0 = 10^5 mm^{-2} = \frac{\Omega_{ot}}{12}$  avec  $Q_{ot} = 1.2 \cdot 10^6 mm^{-2}$ 

 $RHO\_MOB = \rho_0$  est a densité mobile par système de glissement.

La matrice d'interaction est construite à partir des valeurs suivantes

$$H1 = 0.1024$$
,  $H2 = 0.7$ ,  $H3 = 0.1$ ,  $H4 = 0.1$ ,  $H5 = 0.1$   $H6 = 0.1$ ,

La famille de systèmes de glissement est cubique (CC).

#### 1.2.5 Propriétés pour la modélisation E, loi cristalline MONO DD CFC IRRA

# 1.2.5.1 Coefficients relatifs à l'élasticité isotrope

Module de cisaillement:  $\mu = 80000$ . MPa , Coefficient de Poisson  $\nu = 0.3$ Module d'Young:  $E = \mu * 2*(1.+\nu)$ 

# 1.2.5.2 Coefficients de la loi MONO DD CFC

A=0.13 B=0.005 
$$\alpha$$
=0.35  $\beta$ =2.5410<sup>-7</sup>(2.54 Angström)  
Y=2.5 10<sup>-7</sup> mm(2.5 Angstrom)  $\tau_f$ =20. n=5.  $\dot{\gamma}_0$ =10<sup>-3</sup>  $\rho_{ef}$ =10<sup>5</sup> mm<sup>-2</sup>

La matrice d'interaction est caractérisée par les cinq coefficients suivants (cf [R5.03.11]):

H1 = 0.124

H2 = 0.625

H3 = 0.137

H4 = 0.122

H5 = 0.07

La famille de systèmes de glissement est octaédrique (CFC).

Les variables internes représentant la densité de dislocations sont initialisées à  $\rho_0 * b^2$ Celles qui sont liées à l'irradiation ont pour valeurs initiales :  $\rho_s^{loops} = 7.4 \cdot 10^{-13} b^2$  $\phi_s^{voids} = 0.001$ 

$$\phi_s^{voius} = 0.001$$

### 1.3 Conditions aux limites et chargements

Date: 23/10/2014 Page: 5/11

Titre: SSND110 - Validation des lois monocristallines DD\_[...]

Responsable : Jean-Michel PROIX Clé : V6.08.110

# 1.3.1 Chargement pour les modélisations A, B (cas 1), et D

Le chargement est en contraintes imposées :

$$\sigma = \sigma_0 \mathbf{n} \otimes \mathbf{n}$$

avec 
$$\sigma_0 = 100 \, MPa$$
 et  $\mathbf{n} = (0.09667365, 0.48336824, 0.87006284)^T$ 

D'où les composantes du tenseur des contraintes imposé :

$$\sigma_{xx} = 0.93457943925233633$$

$$\sigma_{yy} = 23.364485981308412$$

$$\sigma_{zz}$$
=75.700934579439235

$$\sigma_{xy} = 4.6728971962616823$$

$$\sigma_{xz} = 8.411214953271027$$

$$\sigma_{vz} = 42.056074766355138$$

# 1.3.2 Chargement pour la modélisation B (cas 2)

Le chargement est en déformations imposées :

$$dt \epsilon_{zz \text{ imposée}} = 3.10^4 \text{ s}^{-1} \text{ et } \epsilon_{zz} (tmax) = 0.27 \text{ avec } tmax = 900 \text{ s}$$

Le monocristal a pour orientation [-1,4,9].

# 1.3.3 Chargement pour la modélisation C

Le chargement est en déformations imposées :

$$\epsilon_{\rm zz \, imnos\acute{e}e} = 0.001 \, t$$
 de  $t = 0 \, s$  à  $t = 45 \, s$ 

# 1.3.4 Chargement pour la modélisation E

Le chargement est en déformations imposées :

$$\epsilon_{zz \text{ imnosée}} = 0.05 t$$
 de  $t = 0 s$  à  $t = 1 s$ 

# 1.4 Conditions initiales

Contraintes et déformations nulles.

Date: 23/10/2014 Page: 6/11 Clé: V6.08.110 Responsable: Jean-Michel PROIX Révision : 12597

### Solution de référence 2

### 2.1 Solution de référence pour la modélisation A

Elle s'appuie sur [bib.1] et [R5.03.11]. On trouve une solution analytique sous les hypothèses :

- le tenseur des contraintes  $\sigma$  est connu (contraintes imposées sur un point matériel)
- la matrice d'interaction  $a_{ii}$  est composée uniquement de 1.

Pour chaque système de glissement, la scission résolue se calcule par :  $\tau_s = \sigma : \mathbf{m}_s$ 

avec  $\mathbf{m_s}$  le tenseur d'orientation défini par :  $(m_s)_{ij} = \frac{1}{2}((n_s)_i \cdot (l_s)_j + (l_s)_i \cdot (n_s)_j)$ .  $\mathbf{n_s}$  désignant la normale au plan de glissement du système s et  $\mathbf{l}_s$  la direction de glissement. L'évolution du glissement plastique est donnée pour chaque système s par :

$$\dot{y_s} = \dot{p_s} \frac{\tau_s}{|\tau_s|} \text{ où } \dot{p_s} = \dot{y_0} \left( \left( \frac{|\tau_s|}{\tau_f + \tau_s^{forest}} \right)^n - 1 \right) \text{ si } |\tau_s| \ge \tau_0 + \tau_s^f, \text{ sinon } \dot{p_s} = 0$$

avec  $\tau_s^{forest}(\boldsymbol{\omega}) = \mu C(\boldsymbol{\omega}) \sqrt{\sum_{j=1,12} a_{sj} \langle \omega_j \rangle}$  où  $\omega_s$  est relié à la densité de dislocation  $\rho_s$  par : :  $\omega_s = b^2 * \rho_s$  .  $\tau_s$  étant connu,  $\dot{\gamma}_s$  est donc uniquement fonction de  $\omega_s$  .

 $\omega_s$  est donnée par l'équation différentielle :  $\dot{\omega}_s = \dot{p}_s h_s(\langle \omega \rangle)$ L'évolution de avec

$$h_{s}(\omega) = \left( A \frac{\sum_{j \in forest(s)} \sqrt{a_{sj}} \langle \omega_{j} \rangle}{\sum_{j=1,12} \sqrt{a_{sj}} \langle \omega_{j} \rangle} + BC(\omega) \sum_{j \in copla(s)} \sqrt{a_{sj}} \langle \omega_{j} \rangle - \frac{y}{b} \langle \omega_{s} \rangle \right)$$

$$C(\omega) = 0.2 + 0.8 \frac{\ln\left(\alpha\sqrt{\sum_{i=1,12}\langle\omega_i\rangle}\right)}{\ln\left(\alpha b\sqrt{\rho_{ref}}\right)}.$$

Pour l'orientation choisie, soit 1-5-9, les facteurs de Schmid, reliant le tenseur des contraintes aux différentes scissions résolues  $\tau_s$  sont , pour les 12 systèmes octaédriques du CFC [R5.03.11] : [0.45784855, 0.22892428, 0.22892428, 0.15261618, 0.26707832, 0.11446214,0.19840104, 0.29760156, 0.4960026, 0.04578486, 0.11446214, 0.160246991

On constate donc que le premier système de glissement activé sera le numéro 9 (A3), et le deuxième sera le numéro 1 (soit B4). Les scissions résolues pour ces deux systèmes sont :

- système A3 (numéro 9):  $\tau_s = 49.6 MPa$
- système B4 (numéro 1):  $\tau_s = 45,785 MPa$

Pour ces deux systèmes,  $au_s$  étant connu, il suffit de résoudre l'équation différentielle  $\dot{\omega}_s = \dot{p}_s h_s(\langle \omega \rangle)$  pour connaître l'ensemble des variables. Ceci est effectué numériquement, à l'aide du module « odeint » de scipy (voir fichier SSND110A.22).

### 2.2 Solution de référence pour la modélisation B

Dans le cas du  $\,$   $\,$   $\,$  CC , pour l'orientation choisie, soit  $\,$   $\,$  1-5-9 , le premier système de glissement (famille CUBIQUE) activé sera le numéro 8, et le deuxième sera le numéro 5. Les scissions résolues pour ces deux systèmes sont (à une température de 300K) :

Date: 23/10/2014 Page: 7/11

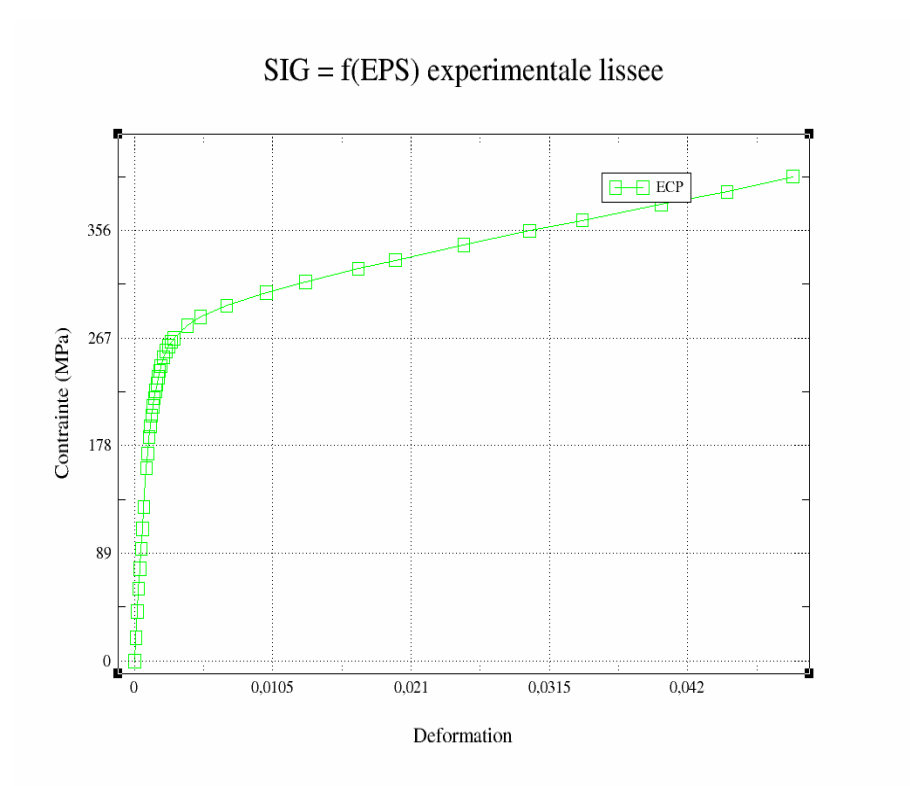
Clé: V6.08.110

Titre: SSND110 - Validation des lois monocristallines DD\_[...]

Responsable: Jean-Michel PROIX

• système numéro 8 :  $\tau_s$ =49,6 Mpa• système numéro 5 :  $\tau_s$ =45,785 MPa

# 2.3 Solution de référence pour la modélisation C



Les données expérimentales sont résumées par la courbe lissée ci-dessous : Pour plus de précision, on pourra se reporter à [2] et [3].

# 2.4 Solution de référence pour la modélisation D

La validation consiste à vérifier que les systèmes de glissement activés sont bien ceux qui sont attendus, et de comparer les résultats entre les intégrations explicite et implicite.

# 2.5 Solution de référence pour la modélisation E

La validation consiste à vérifier que la courbe contrainte-déformation obtenue avec irradiation présente bien un sur-écrouissage par rapport au cas non irradié, puis un adoucissement.

# 2.6 Références bibliographiques

- [1] N.Rupin Note EDF-R&D : HT24-2010-01128-en « implementation of a new constitutive law based on dislocation dynamics for fcc materials»
- [2] J.M. Stephan Note EDF-R&D: HT24-2010-01329-FR « Projet ANR AFGRAP Courbes de traction monotones et cycliques moyennes de l'acier AISI 316LN (Tole T252) fourni par AREVA »
- [3] J. Schwartz : «Approche non locale en plasticité cristalline : application à l'étude du comportement mécanique de l'acier AISI 316LN en fatigue oligocyclique». Thèse de l'Ecole Centrale de Paris, Juin 2011.
- [4] G.Monnet: "Crystal plasticity constitutive law for irradiated RPV steel" Note EDF R&D H-T27-2011-02738-EN, Décembre 2011.

Date: 23/10/2014 Page: 8/11 Responsable: Jean-Michel PROIX Clé: V6.08.110 Révision: 12597

### Modélisation A 3

### 3.1 Caractéristiques de la modélisation

Un point matériel de comportement DD CFC, comportant 12 systèmes de glissement (famille OCTAEDRIQUE) est sollicité à contrainte imposée.

#### 3.2 Grandeurs testées et résultats

#### 3.2.1 Valeurs testées

Intégration RUNGE KUTTA

Variabl e		Référence	Tolérance %
$\overline{ ho_9}$	1	7.17E-09	0,1
$oldsymbol{ ho}_1$	1	6.608E-09	0,1
$\gamma_9$	1	8.00E-05	0,1
$\gamma_1$	1	1.72E-05	0,2
$\boldsymbol{\varepsilon}_{xx}^{vp}$	1	-3.97E-05	0,1
$\boldsymbol{\varepsilon}_{xx}^{vp}$	1	3.97E-05	0,1
$\boldsymbol{\varepsilon}_{xx}^{vp}$	1	1.81E-05	0,1
$\boldsymbol{\varepsilon}_{xx}^{vp}$	1	2.81E-05	0,1

### Intégration IMPLICITE

Variabl e	$\begin{array}{c} \textbf{Instants} \\ (s) \end{array}$	Référence	Tolérance %
$\overline{ ho_9}$	1	7.17E-09	0,5
$ ho_1$	1	6.608E-09	0,1
$\gamma_9$	1	8.00E-05	1
$\gamma_1$	1	1.72E-05	2
$\varepsilon_{xx}^{vp}$	1	-3.97E-05	1
$\varepsilon_{xx}^{vp}$	1	3.97E-05	1
$\varepsilon_{xx}^{vp}$	1	1.81E-05	1
$\varepsilon_{xx}^{vp}$	1	2.81E-05	1

#### **Modélisation B** 4

### 4.1 Caractéristiques de la modélisation

Un point matériel dont la loi d'écoulement monocristalline est MONO DD CC, comportant 12 systèmes de glissement de la famille CUBIQUE1, est sollicité à contrainte imposée.

#### 4.2 Grandeurs testées et résultats

#### 4.2.1 Valeurs testées

Responsable : Jean-Michel PROIX

Date : 23/10/2014 Page : 9/11 Clé : V6.08.110 Révision : 12597

### Température 300K

Variable	Instants $(s)$	Référence
'ছ	1	4,96 10 <sup>7</sup>
F	1	$-4,57810^7$
$ ho_8$	1	$1,0215210^{11}$
$ ho_{\scriptscriptstyle 5}$	1	$1,0113910^{11}$
${m \gamma}_8$	1	2,117310 <sup>-5</sup>
$\gamma_5$	1	$-1,1092710^{-5}$
$\varepsilon_{xx}^{vp}$	1	$-1,328310^{-5}$
$oldsymbol{arepsilon}^{vp}_{zz}$	1	$1,321610^{-5}$
$\mathcal{E}_{xy}^{p}$	1	2,930910 <sup>-6</sup>
yp Xy yp Yz	1	$9,390110^{-6}$

### Température 50K

Variable	Instants $(s)$	Référence
$ ho_5$	100	$3,94510^6$
$ ho_{\scriptscriptstyle 5}$	500	$9,08710^6$
$\gamma_5$	100	$-5.4410^{-2}$
$\gamma_5$	500	$-2.871410^{-1}$

# 5 Modélisation C

# 5.1 Caractéristiques de la modélisation

Un point matériel dont la loi d'écoulement est celle d'un polycristal constitué de 40 monocristaux se comportant suivant la loi MONO\_DD\_FAT, comportant 12 systèmes de glissement (famille OCTAEDRIQUE), est sollicité en déformation imposée.

# 5.2 Grandeurs testées et résultats

# 5.2.1 Valeurs testées

Intégration RUNGE KUTTA

Variable	Instants (s)	Référence	Aster	Tolérance
$\sigma_{\scriptscriptstyle zz}$	45	non_regression	407.71 MPa	0.1%
$\sigma_{zz}$	45	source_externe	387.8 MPa	6.0%

Date: 23/10/2014 Page: 10/11 Responsable: Jean-Michel PROIX Clé: V6.08.110 Révision: 12597

### Modélisation D 6

### 6.1 Caractéristiques de la modélisation

Un point matériel dont la loi d'écoulement monocristalline est MONO DD CC IRRA, comportant 12 systèmes de glissement de la famille CUBIQUE1, est sollicité à contrainte imposée.

#### 6.2 Grandeurs testées et résultats

#### 6.2.1 Valeurs testées

Intégration RUNGE KUTTA

Variable	Instants $(s)$	Référence
$\overline{ ho_8}$	1	1.0003807E+11
$ ho_{\scriptscriptstyle 5}$	1	1.0001773E+11
${\cal Y}_8$	1	2.470697430610E-07
$\gamma_5$	1	-1.139016265372E-07
$\varepsilon_{xx}^{vp}$	1	-1.479102030578E-07
$oldsymbol{arepsilon}^{vp}_{zz}$	1	1.475432149480E-07
$\boldsymbol{\varepsilon}_{xy}^{vp}$	1	3.852669669294E-08
$\varepsilon_{yz}^{vp}$	1	1.045760539705E-07

### Intégration IMPLICITE

(comparaison à l'intégration explicite)

Variabl e	$\frac{Instants}{(s)}$	Référence	Tolérance %
$\overline{ ho}_8$	1	1.0003807E+11	0,5
$ ho_{\scriptscriptstyle 5}$	1	1.0001773E+11	0,5
${\cal Y}_8$	1	2.470697430610E-07	2
$\gamma_5$	1	-1.139016265372E-07	2
$\boldsymbol{\varepsilon}_{xx}^{vp}$	1	-1.479102030578E-07	5
$oldsymbol{arepsilon}^{vp}_{zz}$	1	1.475432149480E-07	2
$\boldsymbol{\varepsilon}_{xy}^{vp}$	1	3.852669669294E-08	2
$\boldsymbol{\varepsilon}_{yz}^{vp}$	1	1.045760539705E-07	2

Remarque : les écarts sont dus à la discrétisation en temps, plus grossière avec l'intégration implicite.

Date: 23/10/2014 Page: 11/11

Clé: V6.08.110

Titre: SSND110 - Validation des lois monocristallines DD\_[...]

Responsable : Jean-Michel PROIX

# Modélisation E

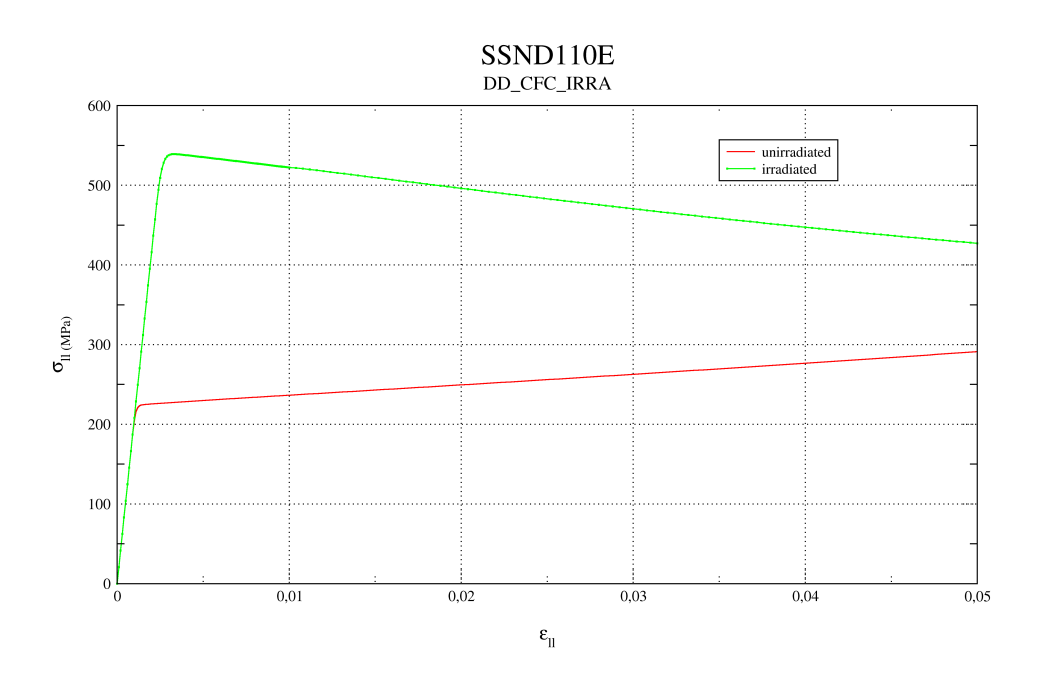
# 7.1 Caractéristiques de la modélisation

Modélisation identique à la modélisation A, hormis le comportement qui prend en compte l'irradiation.

# 7.2 Grandeurs testées et résultats

### 7.2.1 Valeurs testées

Variabl e	Instants $(s)$	Référence	Tolérance %
$O_{zz}$	6,6e-2	539,068	0,2
$O_{\!$	1	427,1665	2
$\varepsilon_{xx}^{vp}$	1	-0,045111	0,1
$\varepsilon_{xx}^{vp}$	1	0,047946	0,1
$\varepsilon_{xx}^{vp}$	1	0,01472	0,3
$\varepsilon_{xx}^{vp}$	1	-5,6913e-3	0,1



# 8 Synthèse des résultats

Les résultats sont satisfaisants et valident les comportements DD CFC, DD CC et DD FAT.